



NICHTLINEARE OPTIK

Ein Überblick von Steven Becker



Agenda

Zweite Harmonische

Ausblick

$$\vec{P} = \epsilon_0 \left(\chi^{(1)} \vec{E} + \chi^{(2)} \vec{E}^2 + \chi^{(3)} \vec{E}^3 + \dots \right)$$

Lichtmaterie WW

Selbstfokussierung

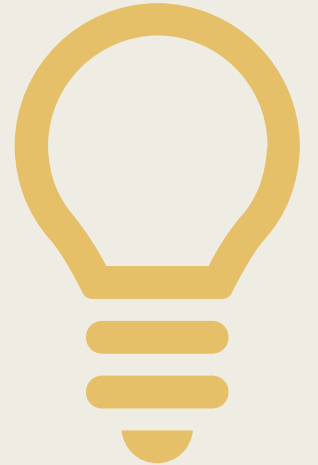
Lineare Lichtmaterie WW

$$\vec{D} = \epsilon_0 \vec{E} + \vec{P}$$

ϵ_0 - Dielektrischekonstante, \vec{E} - Elektrisches Feld, \vec{P} - Polarisation

$$\vec{P} = \epsilon_0 \chi^{(1)} \vec{E}$$

$\chi^{(1)}$ - Dielektrische Suszeptibilität, $(1) \triangleq$ Tensor erster Ordnung (Matrix)



Licht einer Glühbirne
führt zu linearen
Antworten

Lineare Lichtmaterie WW

$$\vec{D} = \epsilon_0 \vec{E} + \vec{P}$$

ϵ_0 - Dielektrischekonstante, \vec{E} - Elektrisches Feld, \vec{P} - Polarisation

$$\vec{P} = \epsilon_0 \left(\chi^{(1)} \vec{E} + \chi^{(2)} \vec{E}^2 + \chi^{(3)} \vec{E}^3 + \dots \right)$$

$\chi^{(n)}$ - Dielektrische Suszeptibilität, $(n) \triangleq$ Tensor n-ter Ordnung

Laser führen zu
Nichtlinearen Antworten



L
A
S
E
R

Lineare Lichtmaterie WW

$$\vec{P} = \epsilon_0 \left(\chi^{(1)} \vec{E} + \chi^{(2)} \vec{E}^2 + \chi^{(3)} \vec{E}^3 + \dots \right)$$

$\chi^{(n)}$ - Dielektrische Suszeptibilität, $(n) \triangleq$ Tensor n-ter Ordnung

$$\chi^{(2)} \sim 10^{-12} \frac{\text{m}}{\text{V}}, \quad \chi^{(3)} \sim 10^{-24} \frac{\text{m}^2}{\text{V}^2}$$

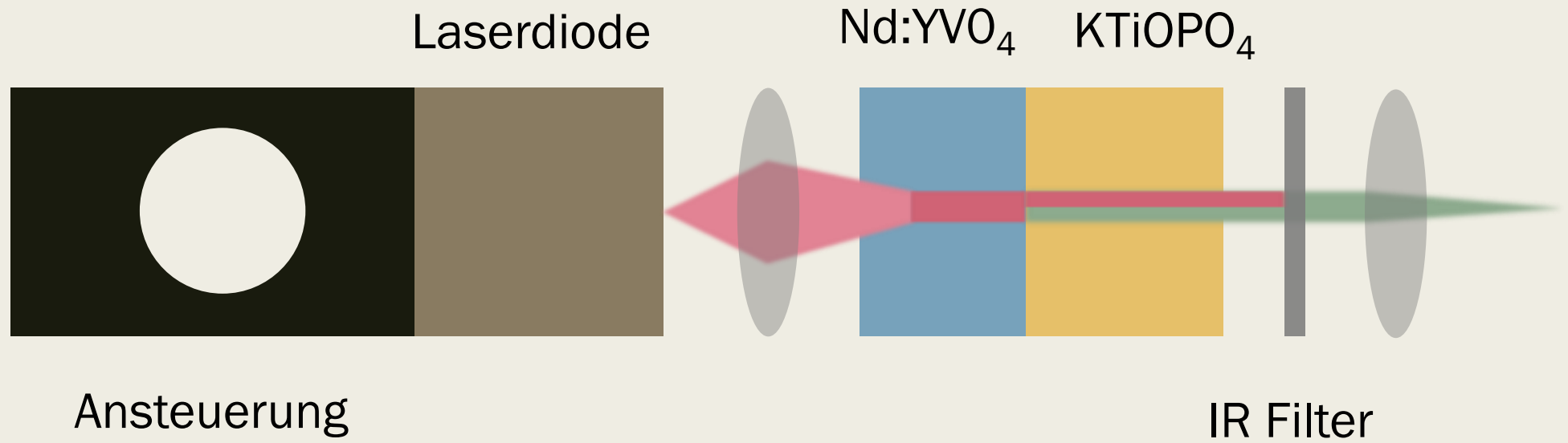


Laser führen zu
Nichtlinearen Antworten

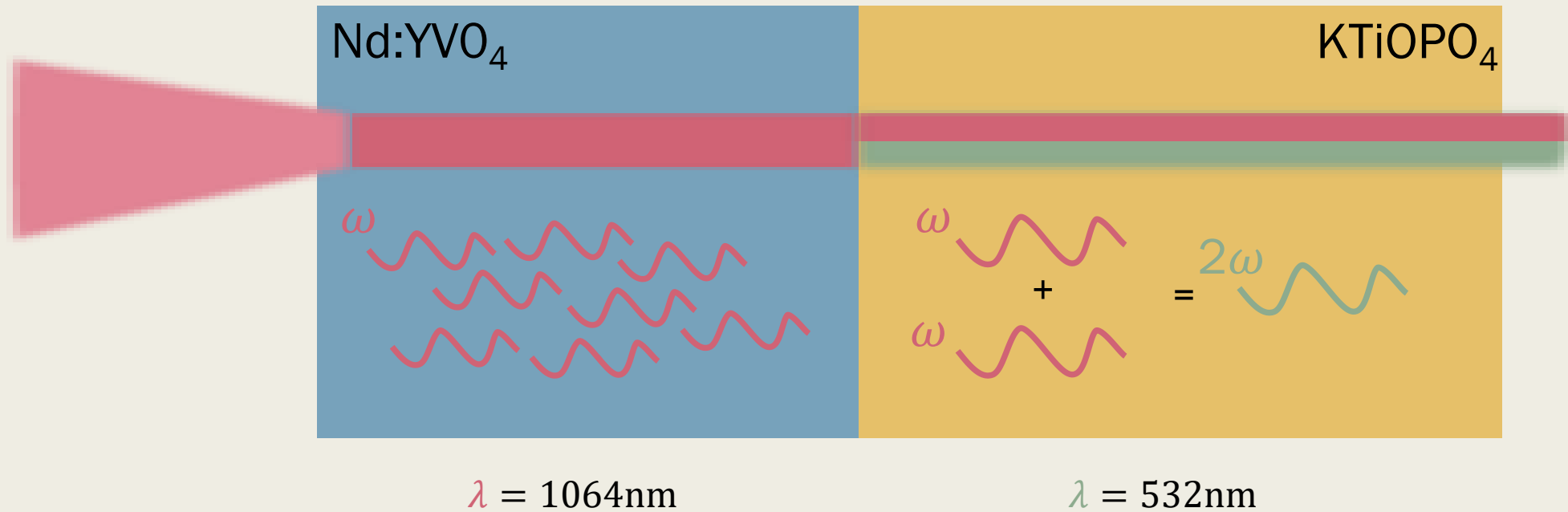
Zweite Ordnung

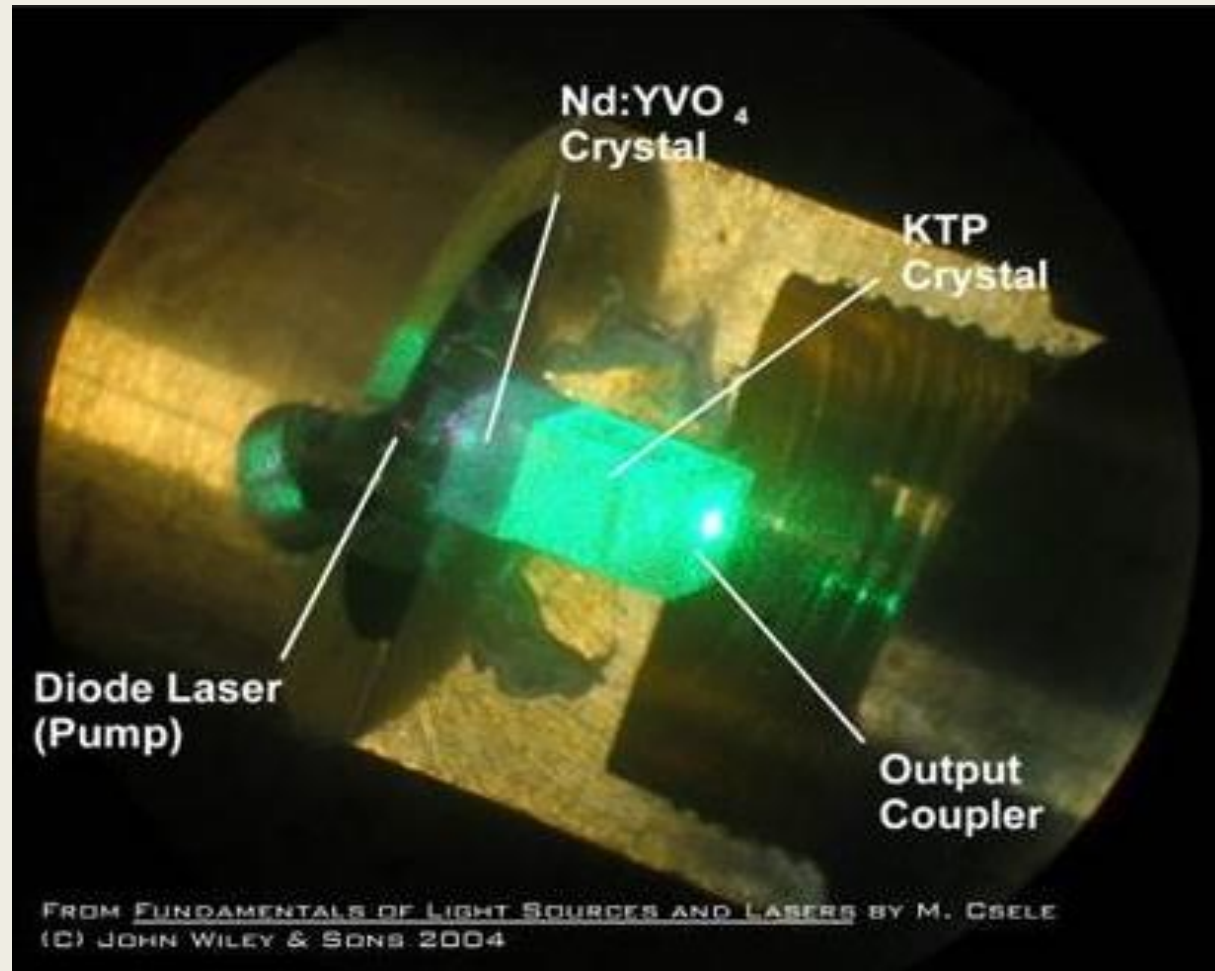
$$\vec{P} = \epsilon_0 \left(\chi^{(1)} \vec{E} + \chi^{(2)} \vec{E}^2 + \chi^{(3)} \vec{E}^3 + \dots \right)$$

Der grüne Laserpointer



Zweite Harmonische





Zweite Harmonische im Laserpointer

Zweite Harmonische - Beschreibung

Eingangswelle:

$$\tilde{E}(t) = E e^{-i\omega t} + c.c.$$

Polarisation:

$$P^{(2)} = \epsilon_0 \chi^{(2)} \tilde{E}^2$$

$$= 2\epsilon_0 \chi^{(2)} |E|^2 + (\epsilon_0 \chi^{(2)} E^2 e^{-2i\omega t} + c.c.)$$

Zweite Harmonische - Beschreibung

Polarisation:

$$P^{(2)} = \epsilon_0 \chi^{(2)} E^2$$

$$= 2\epsilon_0 \chi^{(2)} |E|^2 + (\epsilon_0 \chi^{(2)} E^2 e^{-2i\omega t} + c.c.)$$

Wellengleichung:

$$\nabla^2 \vec{E} - \frac{1}{c^2} \ddot{\vec{E}} = \mu_0 \ddot{\vec{P}}$$

Effizienz

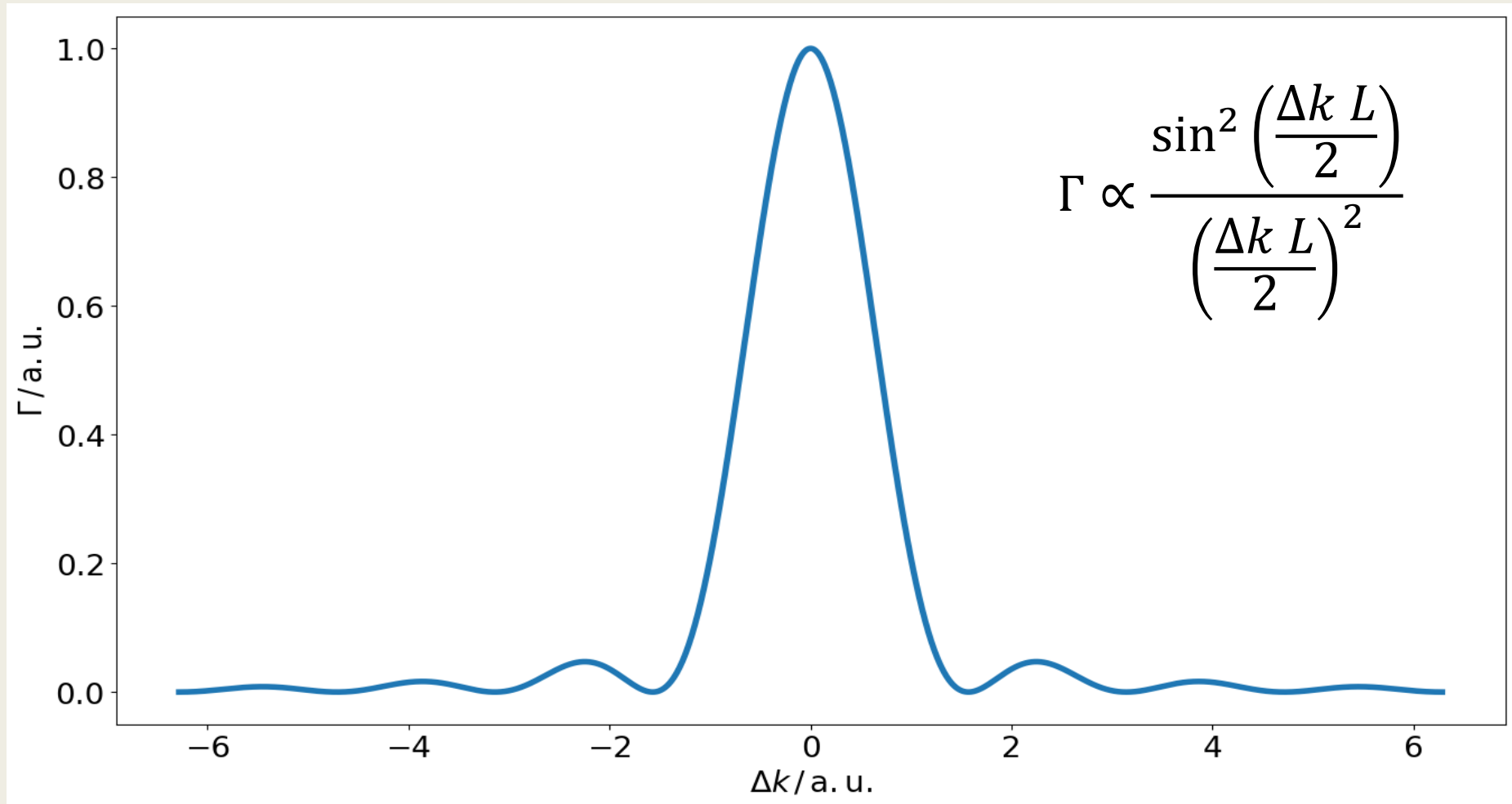
$$\Gamma = \frac{I(2\omega)}{I(\omega)} \propto \chi_{\text{eff}}^2 L^2 I(\omega) \frac{\sin^2\left(\frac{\Delta k L}{2}\right)}{\left(\frac{\Delta k L}{2}\right)^2}$$

χ_{eff} - effektive Suszeptibilität, L - Kristalllänge, Δk - Phasenunterschied

mit

$$\Delta k = 2k_1(\omega) - k_2(2\omega)$$

Effizienz



Effizienz in Abhängigkeit von der Phasendifferenz

Phase matching

$$\vec{P} = \epsilon_0 \left(\chi^{(1)} \vec{E} + \chi^{(2)} \vec{E}^2 + \chi^{(3)} \vec{E}^3 + \dots \right)$$

Phase-matching

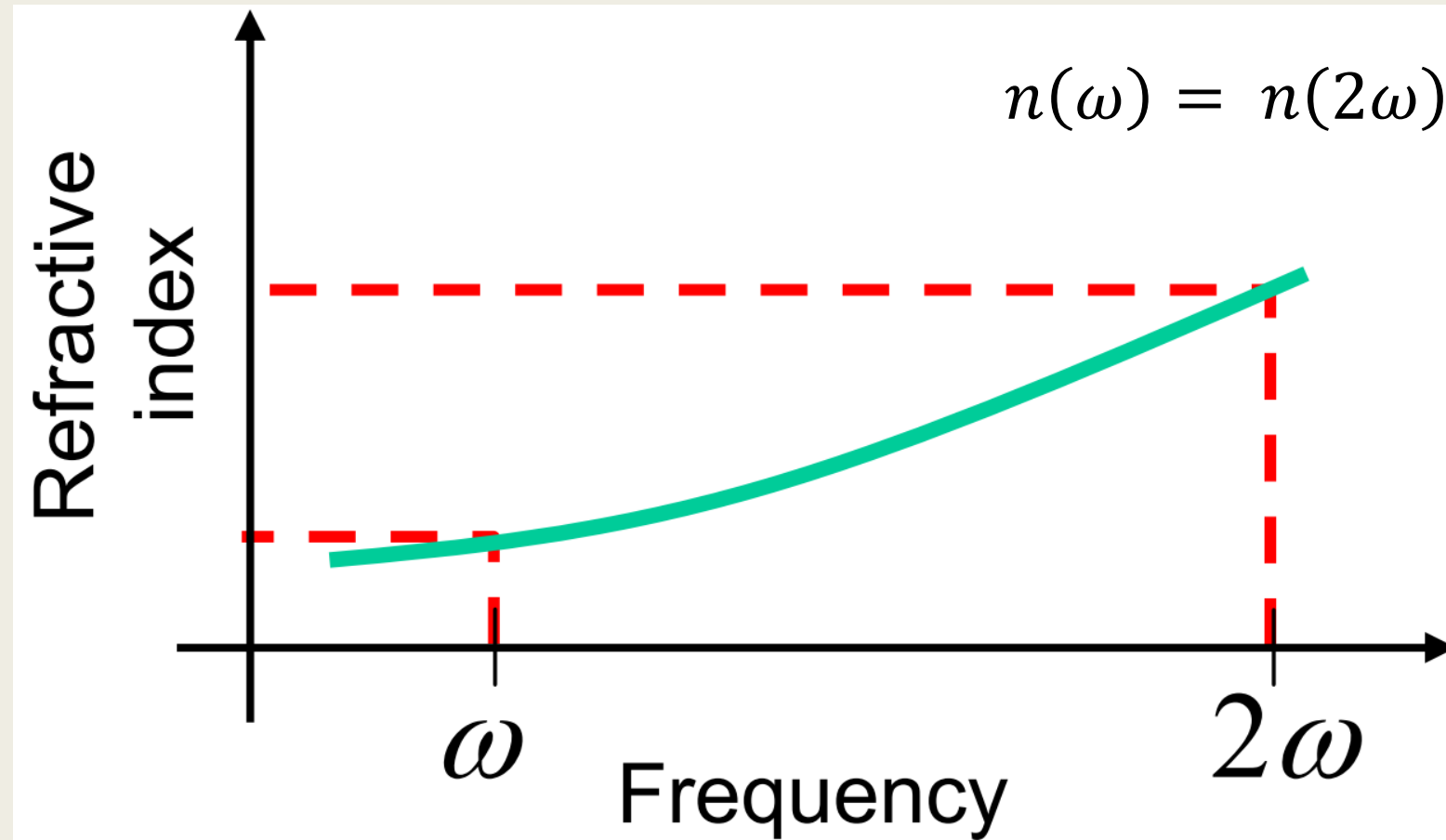
Maximale Effizienz wenn:

$$\Delta k = 2k_1(\omega) - k_2(2\omega) = 0$$

$$\Leftrightarrow 2 \frac{\omega}{c} n(\omega) = \frac{2\omega}{c} n(2\omega)$$

$$\Leftrightarrow n(\omega) = n(2\omega)$$

Phase-matching



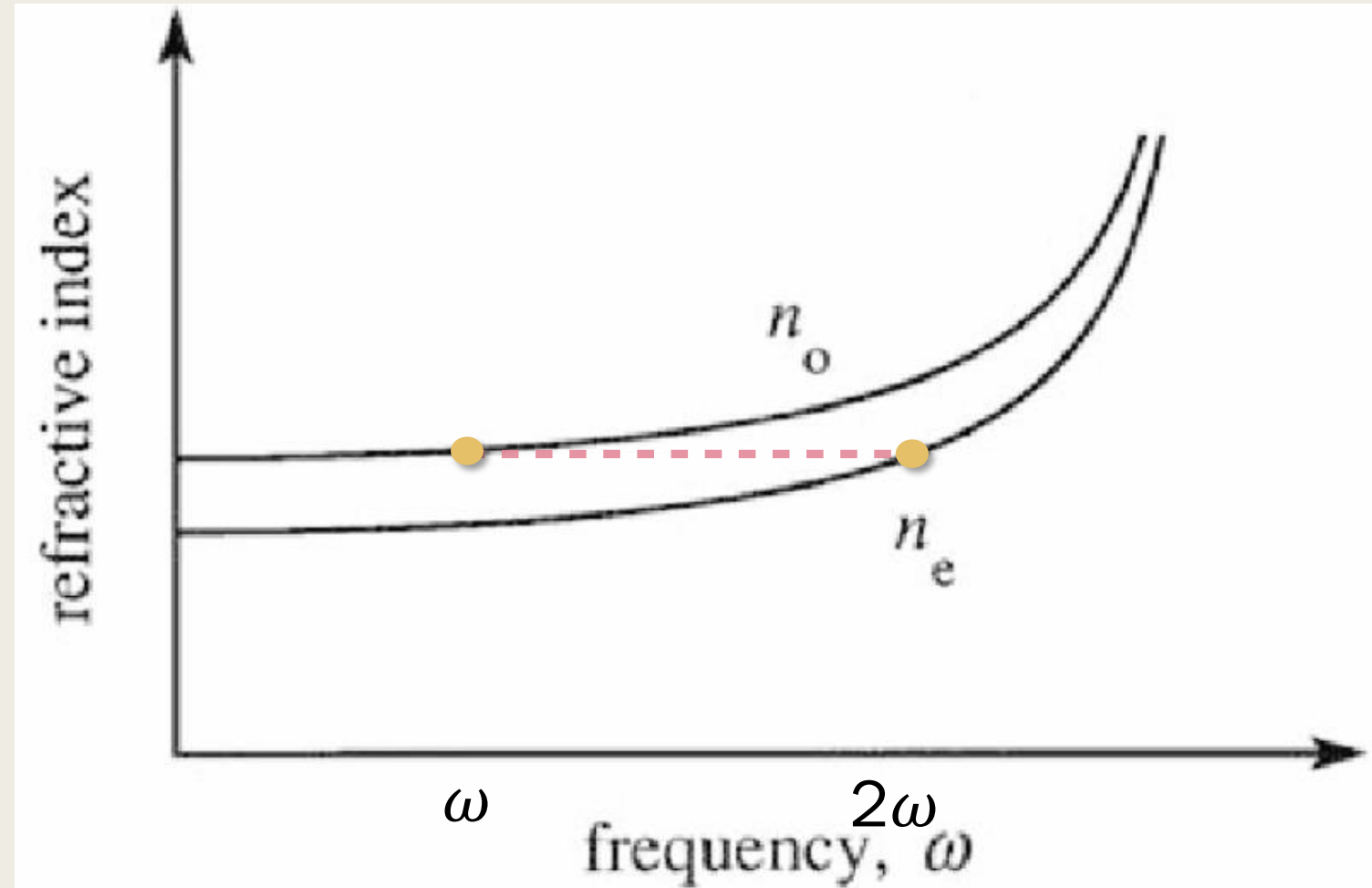
Schematische Darstellung der Frequenzabhängigkeit des Brechungsindexes

Doppelbrechung als Lösung

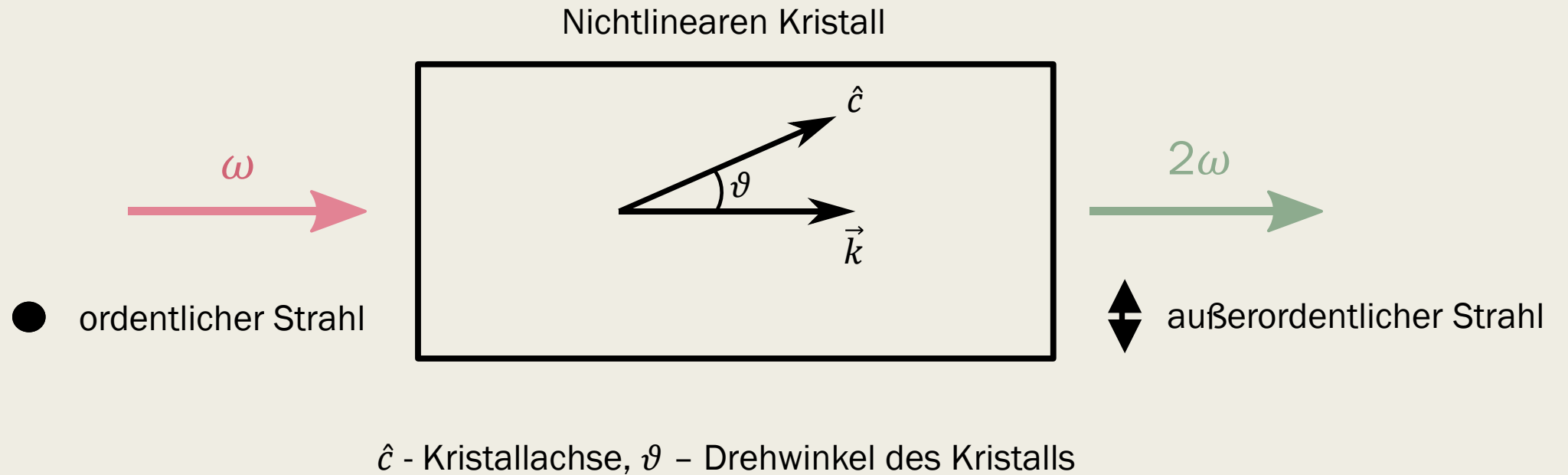
Brechungsindices eines
Doppelbrechenden Materials,

n_o - Brechungsindex vom
ordentlichen Strahl,

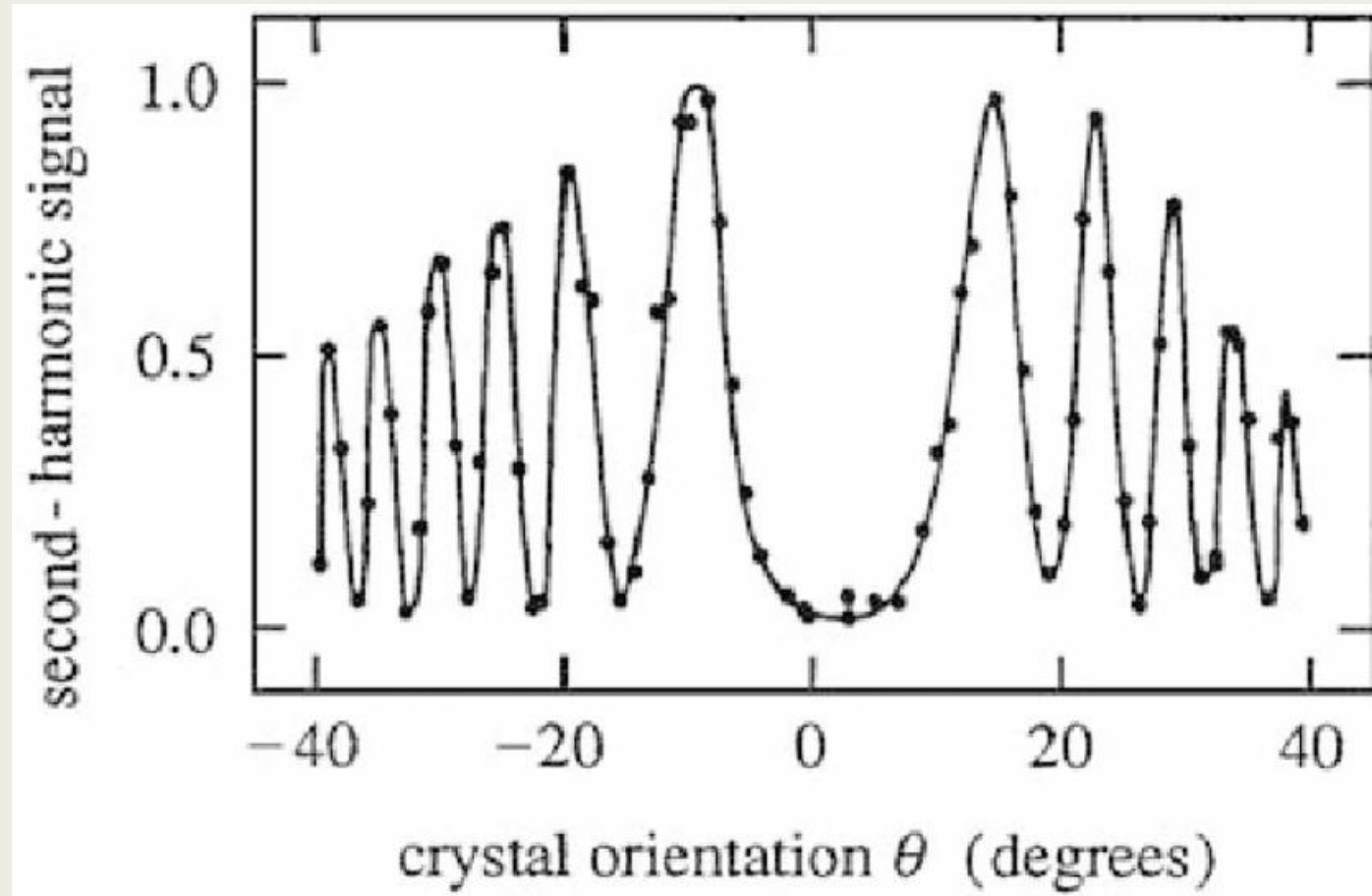
n_e - Brechungsindex vom
außerordentlichen Strahl



Anwendung für Phase-matching

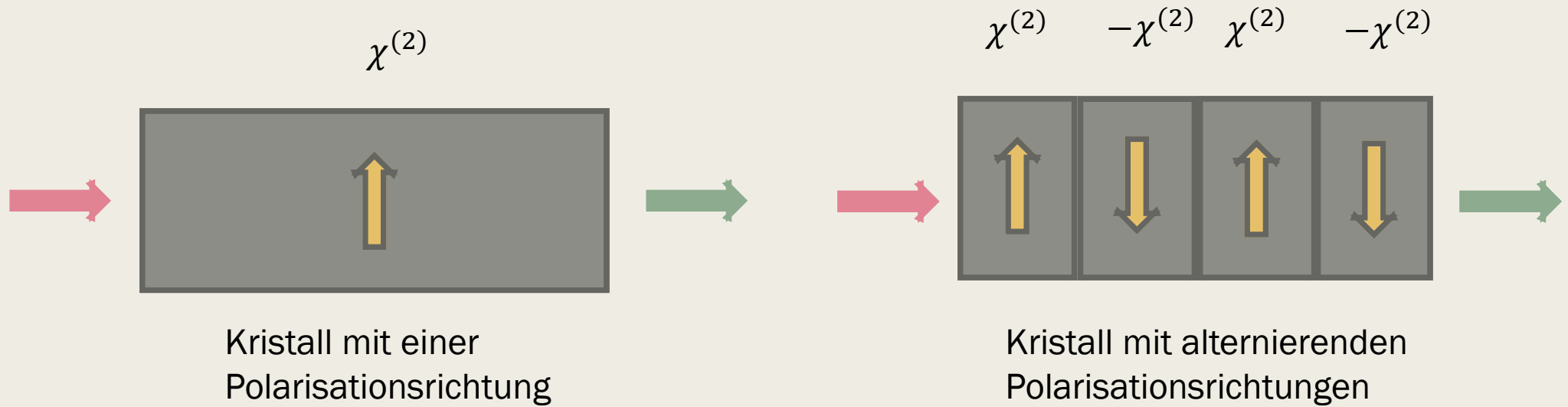


Resultat - Drehmethode

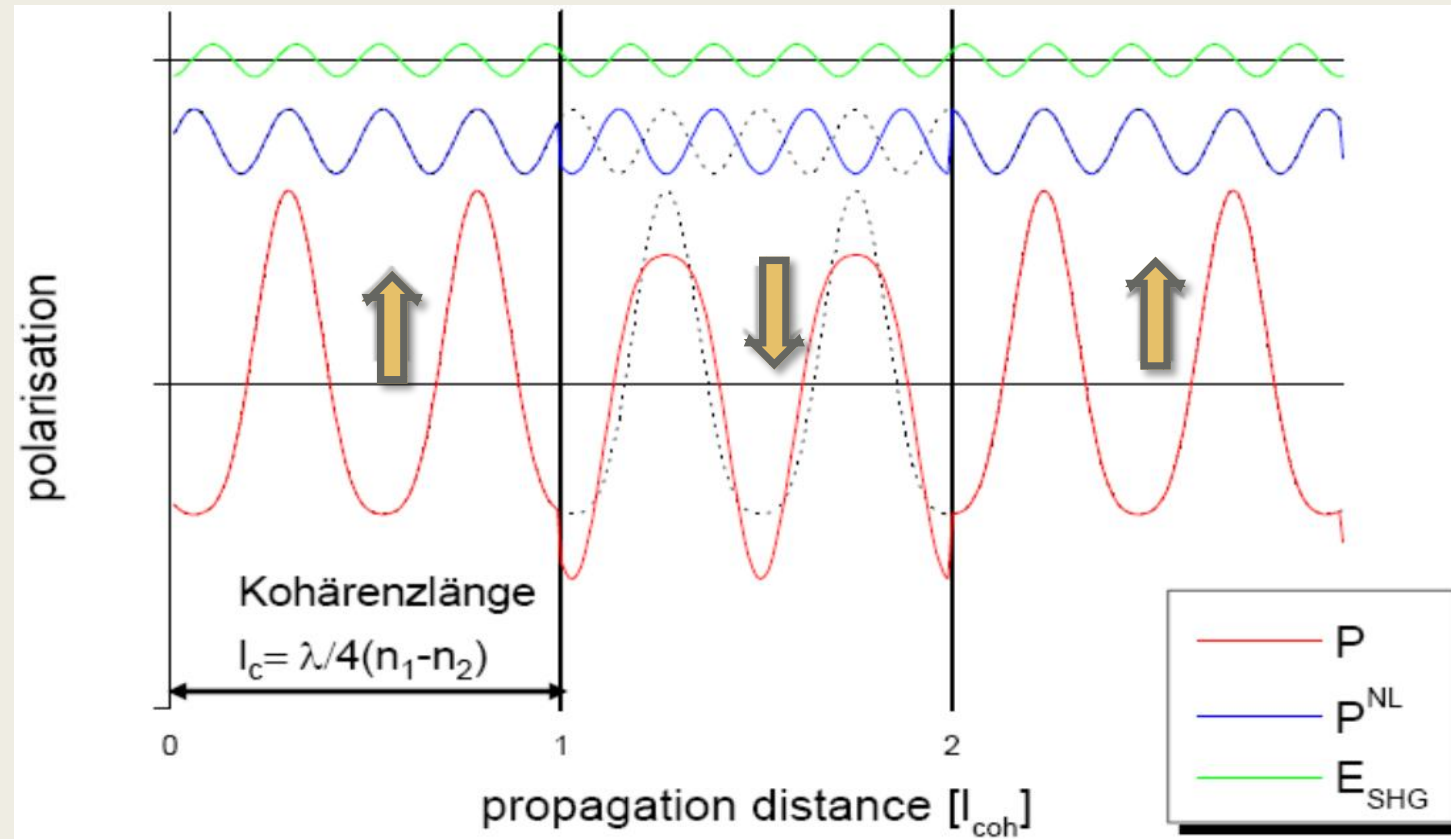


Auswirkung der Drehung des Kristalls auf die Intensität der zweiten Harmonischen

Quasi phase matching

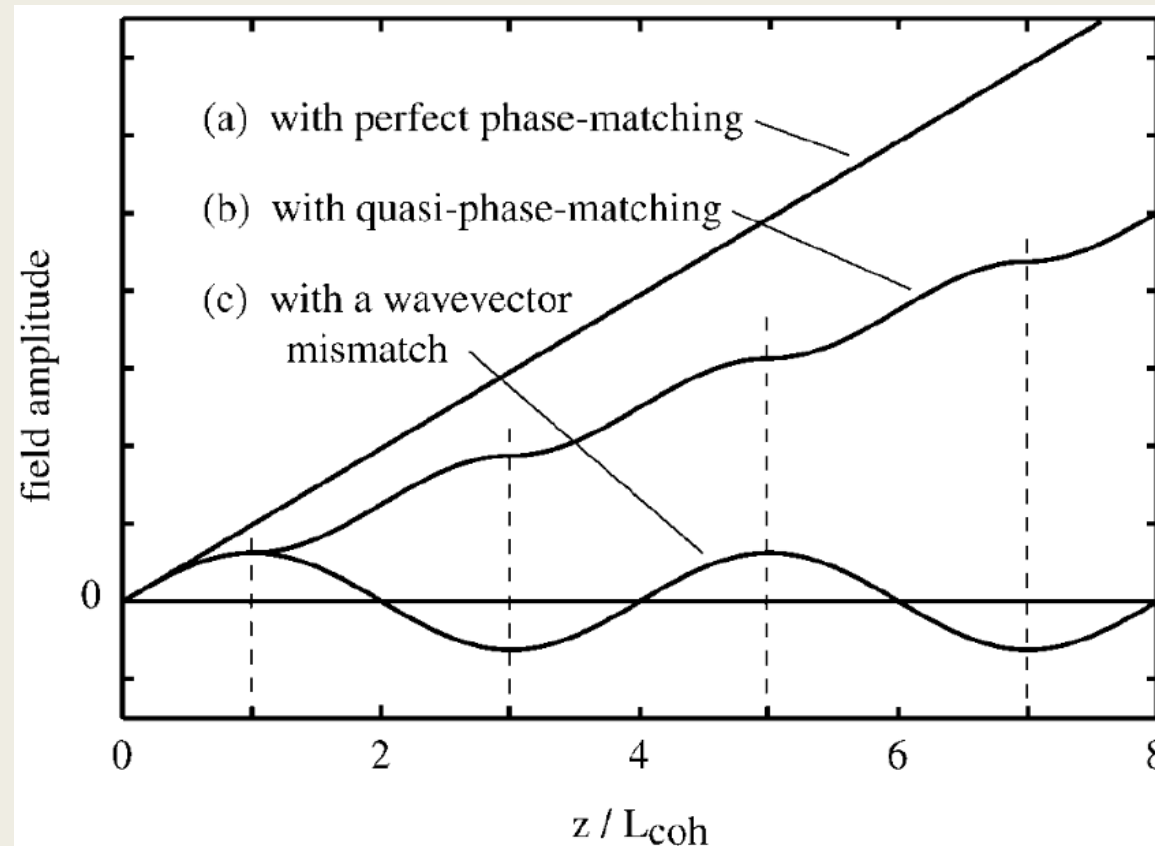


Quasi phase matching



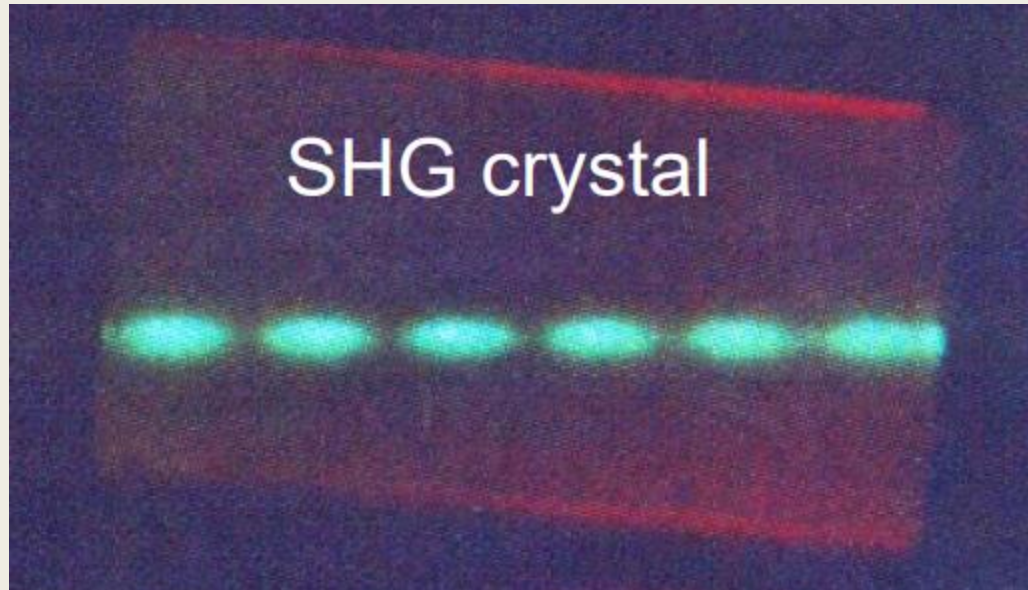
Auswirkung der alternierenden Vorzugsrichtungen auf die Polarisation

Vergleich der Methoden

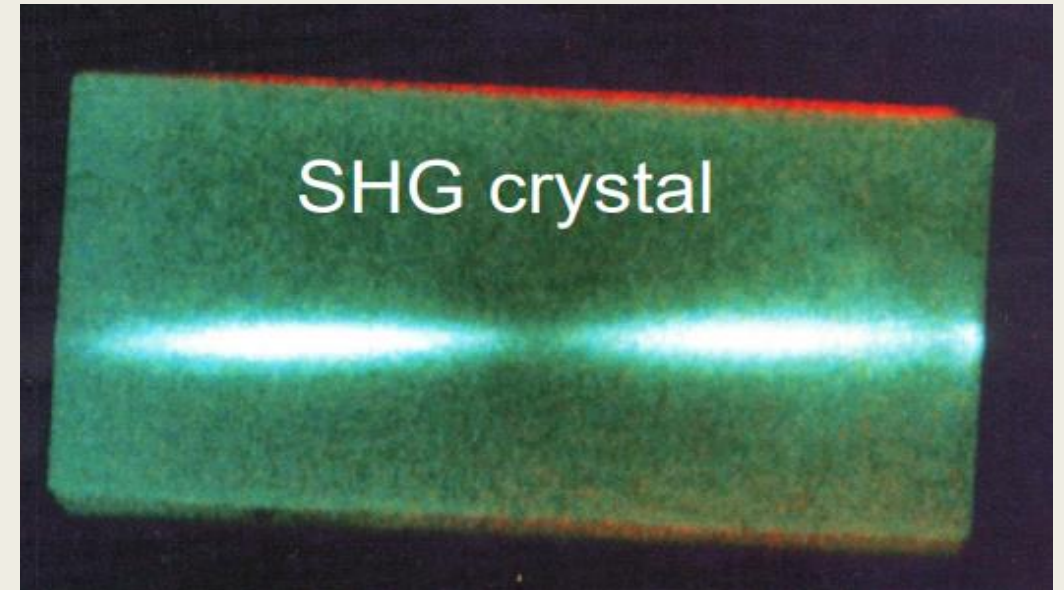


Vergleich der verschiedenen Phase matching methoden

Auswirkung phase matching



Geringes phase matching

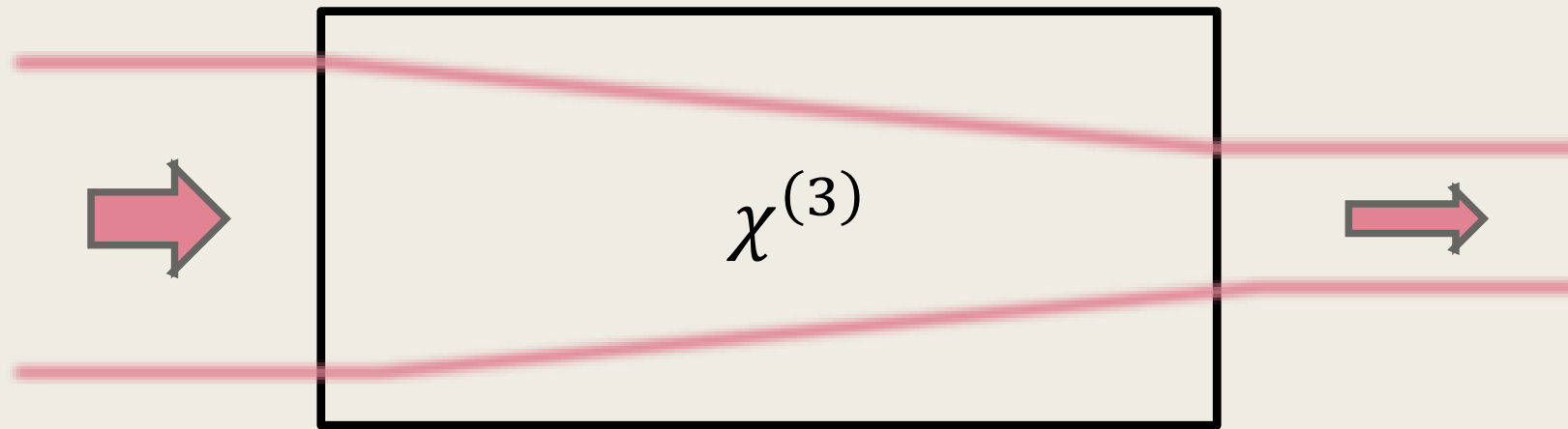


Hohes phase matching

Dritte Ordnung

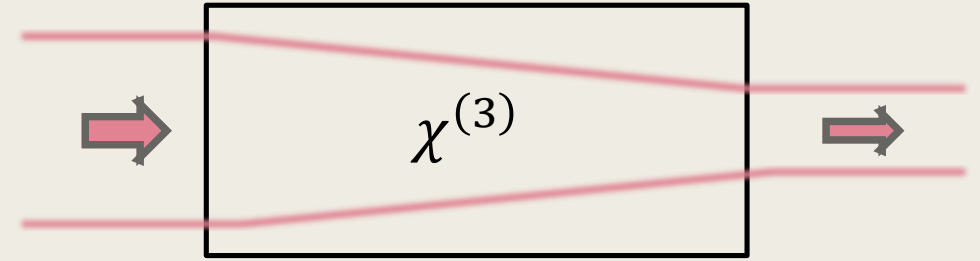
$$\vec{P} = \epsilon_0 \left(\chi^{(1)} \vec{E} + \chi^{(2)} \vec{E}^2 + \chi^{(3)} \vec{E}^3 + \dots \right)$$

Optischer Kerr-Effekt



Selbstfokussierung eines Laserstrahls hoher Intensität

Optischer Kerr-Effekt



$$n = n_0 + 2n_2 I$$

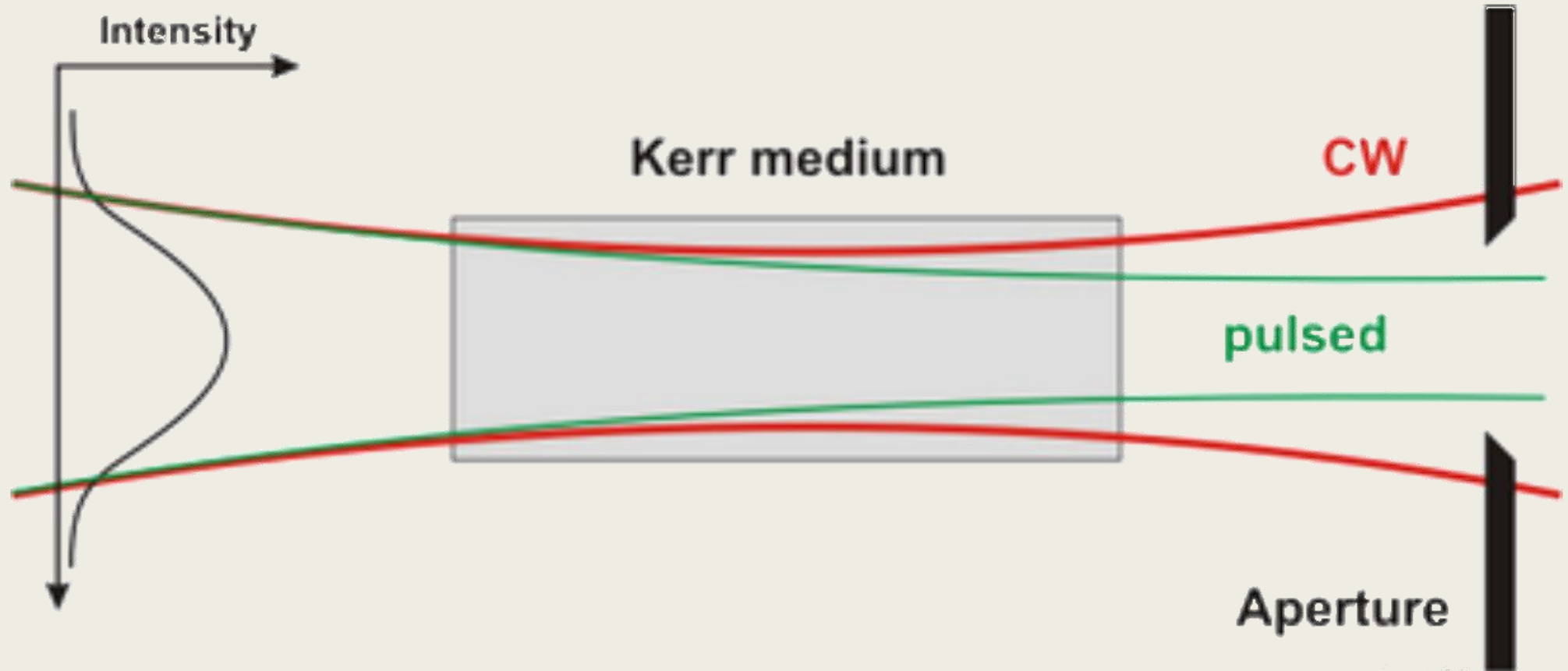
mit

$$n_0 = \sqrt{1 + \chi^{(1)}},$$

$$n_2 = \frac{3\chi^{(3)}}{4n_0}$$

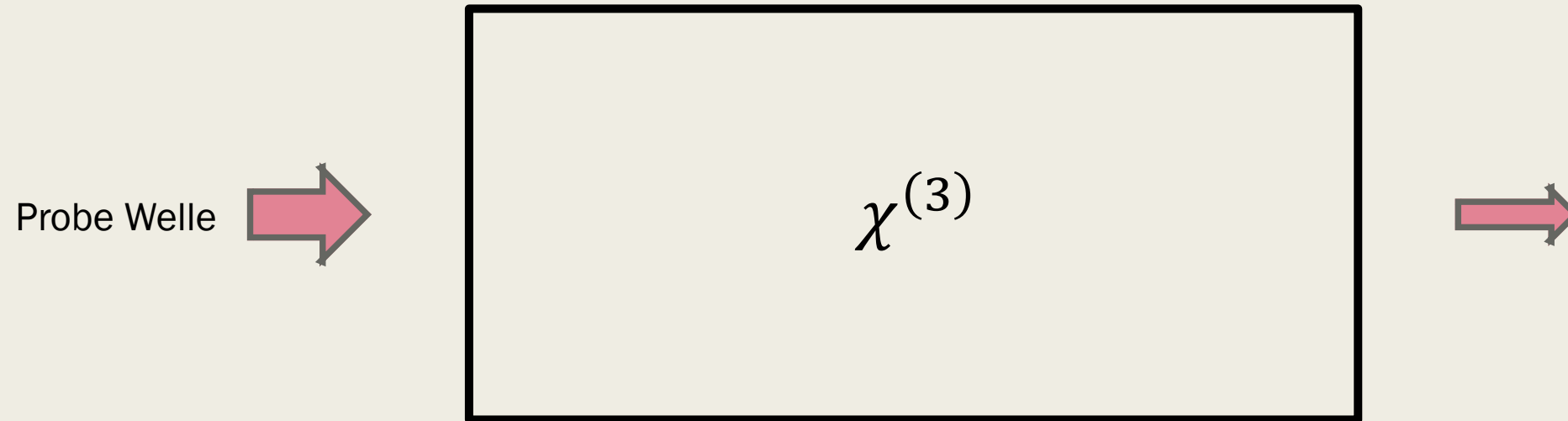
Für Kohlenstoffdisulfid: $n_2 = 3 \cdot 10^{-14} \frac{\text{cm}^2}{\text{W}}$

Pulsed Laser



Der Kerr-Effekt kann durch Verwendung von Pulsen zugänglich gemacht werden.

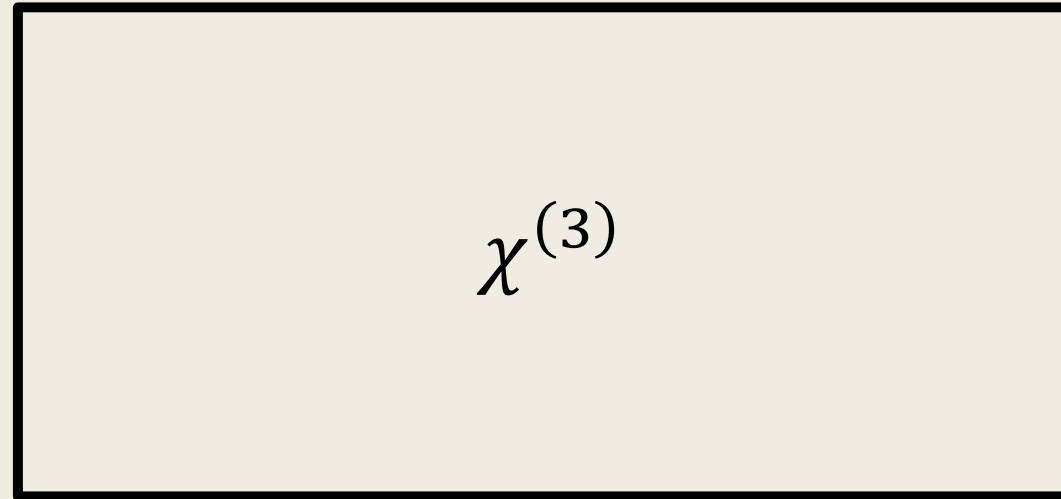
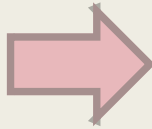
Zwei Strahl Ansatz



Selbstfokussierung mit einem einfallenden Strahl

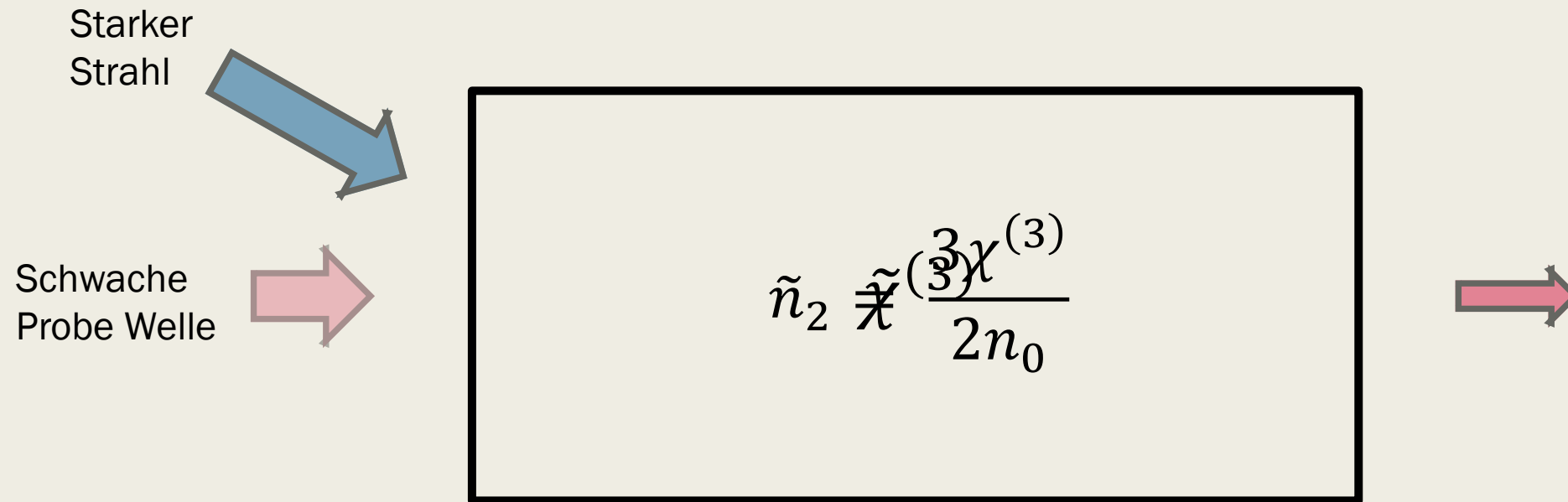
Zwei Strahl Ansatz

Schwache
Probe Welle



Selbstfokussierung mit einem einfallenden Strahl

Zwei Strahl Ansatz

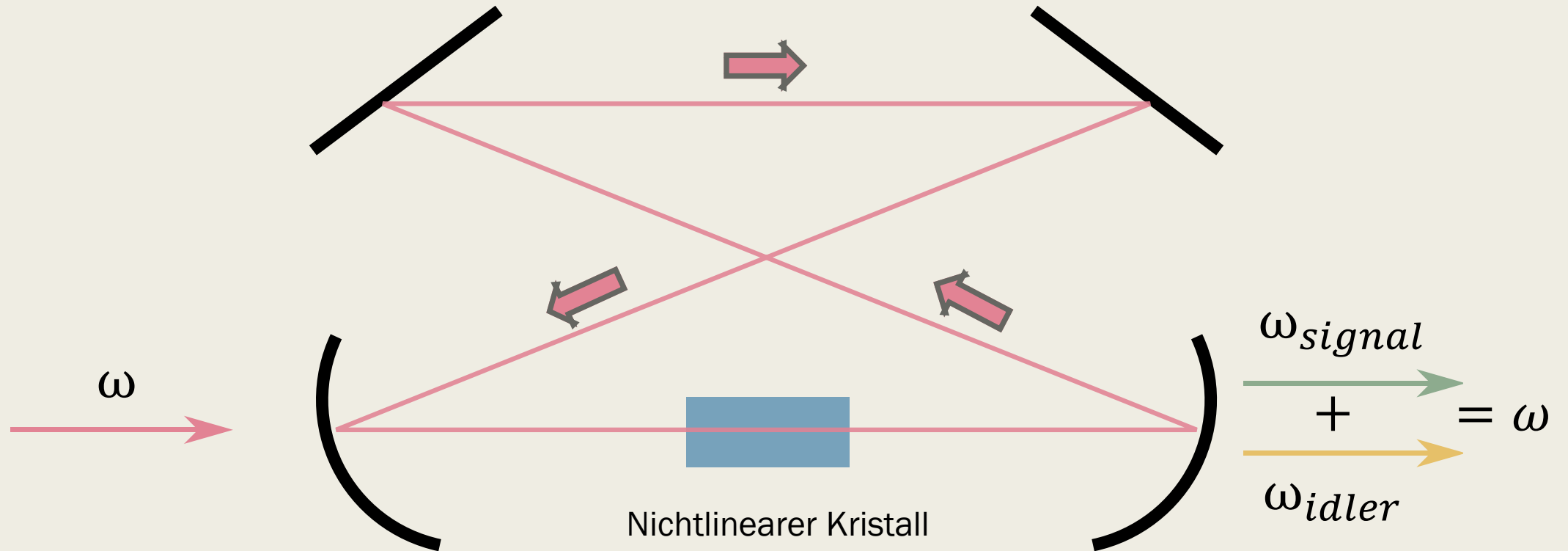


Selbstfokussierung mit einem zwei Strahlen

Ausblick

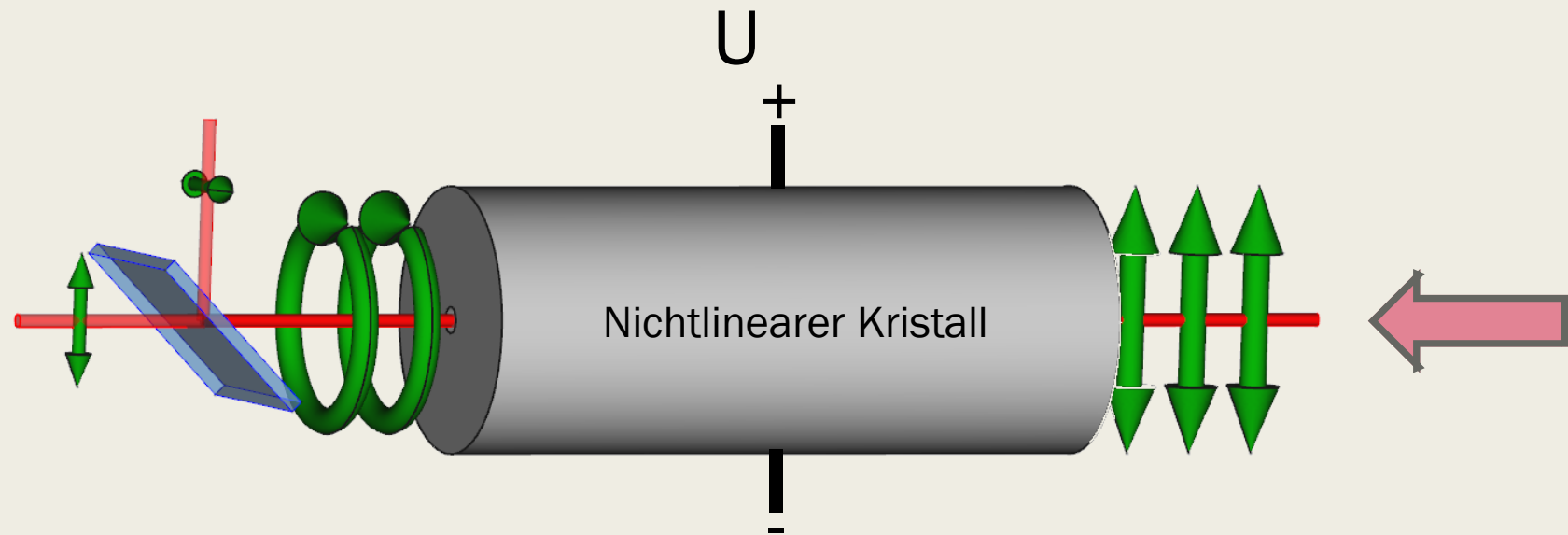
$$\vec{P} = \epsilon_0 \left(\chi^{(1)} \vec{E} + \chi^{(2)} \vec{E}^2 + \chi^{(3)} \vec{E}^3 + \dots \right)$$

Ausblick - Parametrischer Oszillator (OPO)



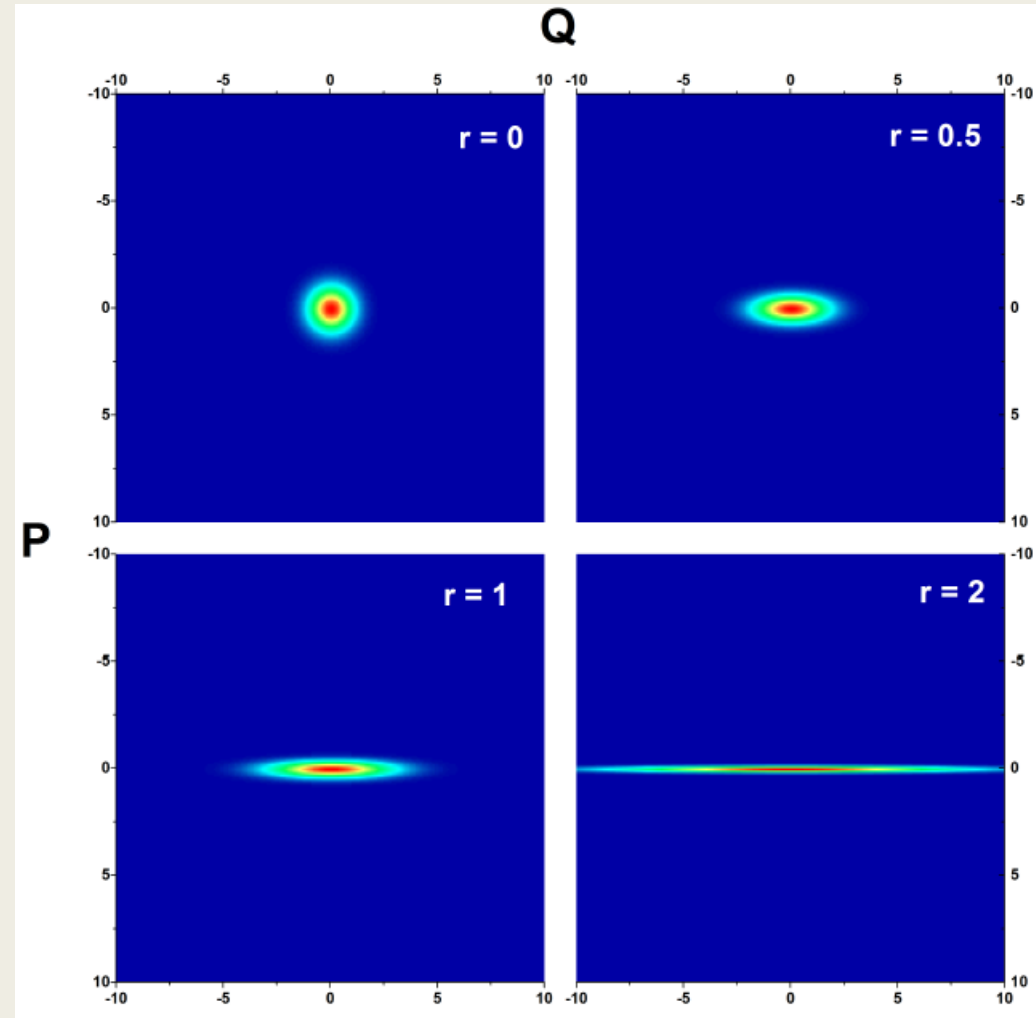
Schematische Darstellung eines parametrischen Oszillators

Ausblick – Pockels-Zelle



Schematische Darstellung einer Pockels-Zelle

Ausblick – Squeezed Light



Anwendung des Squeezing Operators auf das Lichtfeld

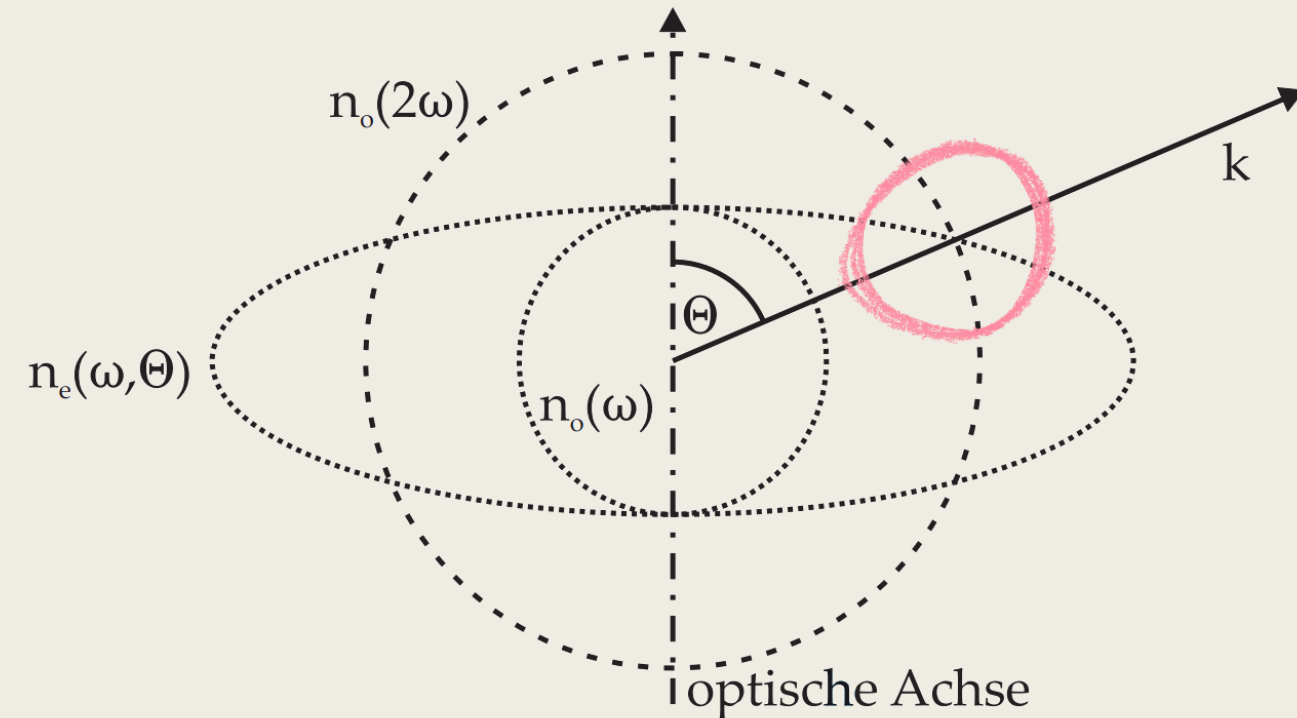
VIELEN DANK
FÜR DIE
AUFMERKSAMKEIT!



APPENDIX

Phasenanpassung Drehmethode

$$\frac{1}{n_e(\Theta)} = \frac{\sin^2(\Theta)}{\tilde{n}_e^2} + \frac{\cos^2(\Theta)}{n_0^2}$$



Die dritte Ordnung

$$P(\omega_1) = \epsilon_0 \chi^{(3)} (3E_1 E_1^* + 6E_2 E_2^* + 6E_3 E_3^*) E_1,$$

$$P(\omega_2) = \epsilon_0 \chi^{(3)} (6E_1 E_1^* + 3E_2 E_2^* + 6E_3 E_3^*) E_2,$$

$$P(\omega_3) = \epsilon_0 \chi^{(3)} (6E_1 E_1^* + 6E_2 E_2^* + 3E_3 E_3^*) E_3,$$

$$P(3\omega_1) = \epsilon_0 \chi^{(3)} E_1^3, \quad P(3\omega_2) = \epsilon_0 \chi^{(3)} E_2^3, \quad P(3\omega_3) = \epsilon_0 \chi^{(3)} E_3^3,$$

Zwei Strahl Methode

~~$$P(\omega_1 + \omega_2 + \omega_3) = 6\epsilon_0 \chi^{(3)} E_1 E_2 E_3,$$~~

~~$$P(\omega_1 + \omega_2 - \omega_3) = 6\epsilon_0 \chi^{(3)} E_1 E_2 E_3^*,$$~~

~~$$P(\omega_1 + \omega_3 - \omega_2) = 6\epsilon_0 \chi^{(3)} E_1 E_3 E_2^*,$$~~

~~$$P(\omega_2 + \omega_3 - \omega_1) = 6\epsilon_0 \chi^{(3)} E_2 E_3 E_1^*,$$~~

Ein Strahl Methode

~~$$P(2\omega_1 + \omega_2) = 3\epsilon_0 \chi^{(3)} E_1^2 E_2,$$~~

~~$$P(2\omega_2 + \omega_1) = 3\epsilon_0 \chi^{(3)} E_2^2 E_1,$$~~

~~$$P(2\omega_3 + \omega_1) = 3\epsilon_0 \chi^{(3)} E_3^2 E_1,$$~~

~~$$P(2\omega_1 - \omega_2) = 3\epsilon_0 \chi^{(3)} E_1^2 E_2^*,$$~~

~~$$P(2\omega_2 - \omega_1) = 3\epsilon_0 \chi^{(3)} E_2^2 E_1^*,$$~~

~~$$P(2\omega_3 - \omega_1) = 3\epsilon_0 \chi^{(3)} E_3^2 E_1^*,$$~~

$$P(2\omega_1 + \omega_3) = 3\epsilon_0 \chi^{(3)} E_1^2 E_3,$$

$$P(2\omega_2 + \omega_3) = 3\epsilon_0 \chi^{(3)} E_2^2 E_3,$$

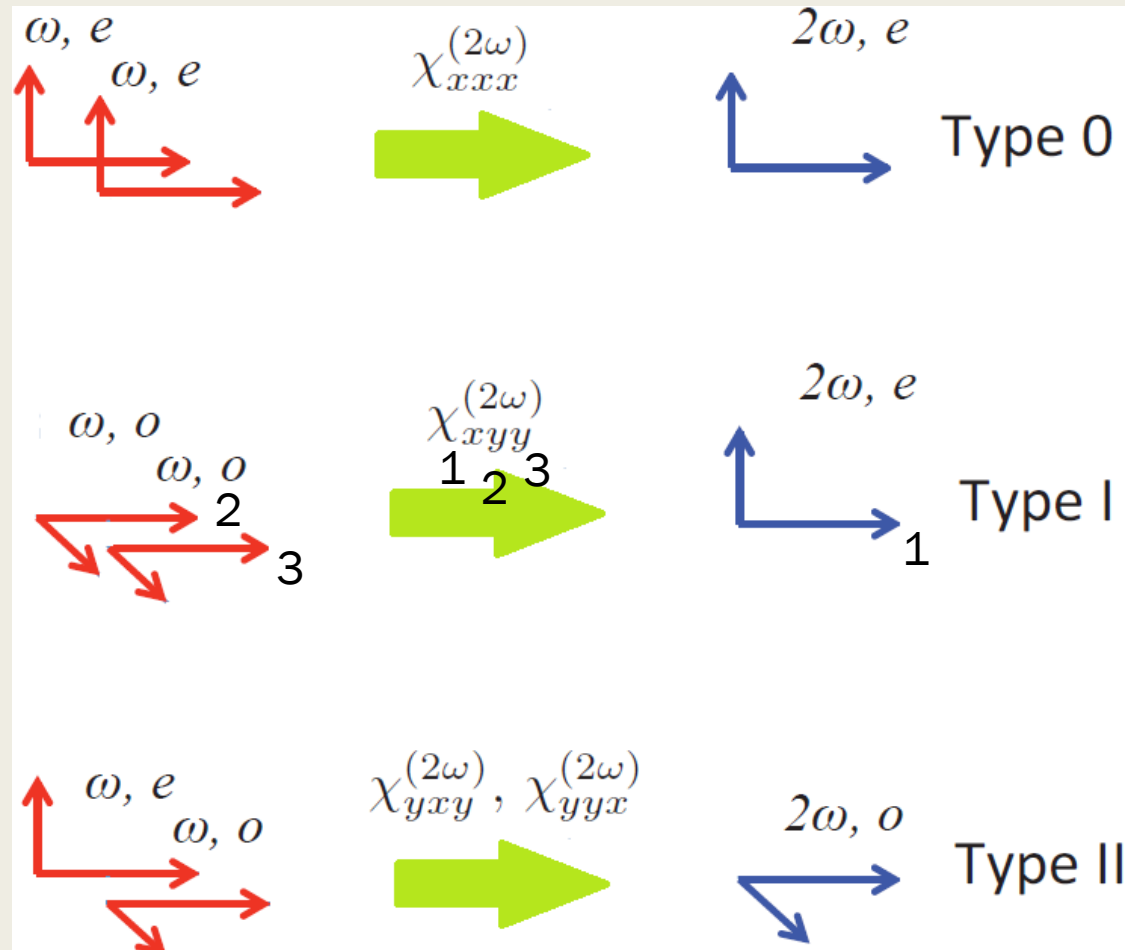
$$P(2\omega_3 + \omega_2) = 3\epsilon_0 \chi^{(3)} E_3^2 E_2,$$

$$P(2\omega_1 - \omega_3) = 3\epsilon_0 \chi^{(3)} E_1^2 E_3^*,$$

$$P(2\omega_2 - \omega_3) = 3\epsilon_0 \chi^{(3)} E_2^2 E_3^*,$$

$$P(2\omega_3 - \omega_2) = 3\epsilon_0 \chi^{(3)} E_3^2 E_2^*$$

Zweite Harmonische - Polarisation



In dem Beispiel:

